

Starkniederschlagshöhen und -spenden gemäß KOSTRA-DWD-2010R

Auswertungszeitraum von 1951 - 2010, Januar - Dezember

Rasterfeld: 100046

Zeile: 100

Spalte: 46

Seite: 1/2

| Dauerstufe D | | Wiederkehrzeit T | | | | | | | | | | | | | | | | | |
|--------------|-----|------------------|------------|-------|------------|-------|------------|-------|------------|-------|------------|-------|------------|-------|------------|-------|------------|-------|------------|
| | | 1 a | | 2 a | | 3 a | | 5 a | | 10 a | | 20 a | | 30 a | | 50 a | | 100 a | |
| min | Std | mm | l / (s ha) | mm | l / (s ha) | mm | l / (s ha) | mm | l / (s ha) | mm | l / (s ha) | mm | l / (s ha) | mm | l / (s ha) | mm | l / (s ha) | mm | l / (s ha) |
| 5 | | 5,9 | 196,7 | 7,5 | 250,0 | 8,5 | 283,3 | 9,7 | 323,3 | 11,4 | 380,0 | 13,1 | 436,7 | 14,1 | 470,0 | 15,3 | 510,0 | 17,0 | 566,7 |
| 10 | | 9,3 | 155,0 | 11,7 | 195,0 | 13,1 | 218,3 | 14,9 | 248,3 | 17,3 | 288,3 | 19,7 | 328,3 | 21,2 | 353,3 | 22,9 | 381,7 | 25,4 | 423,3 |
| 15 | | 11,5 | 127,8 | 14,5 | 161,1 | 16,3 | 181,1 | 18,5 | 205,6 | 21,5 | 238,9 | 24,5 | 272,2 | 26,3 | 292,2 | 28,5 | 316,7 | 31,5 | 350,0 |
| 20 | | 13,1 | 109,2 | 16,6 | 138,3 | 18,6 | 155,0 | 21,2 | 176,7 | 24,7 | 205,8 | 28,2 | 235,0 | 30,3 | 252,5 | 32,9 | 274,2 | 36,4 | 303,3 |
| 30 | | 15,1 | 83,9 | 19,5 | 108,3 | 22,1 | 122,8 | 25,3 | 140,6 | 29,6 | 164,4 | 34,0 | 188,9 | 36,6 | 203,3 | 39,8 | 221,1 | 44,1 | 245,0 |
| 45 | | 16,9 | 62,6 | 22,4 | 83,0 | 25,5 | 94,4 | 29,5 | 109,3 | 34,9 | 129,3 | 40,4 | 149,6 | 43,5 | 161,1 | 47,5 | 175,9 | 52,9 | 195,9 |
| 60 | | 18,0 | 50,0 | 24,3 | 67,5 | 28,0 | 77,8 | 32,7 | 90,8 | 39,0 | 108,3 | 45,3 | 125,8 | 49,0 | 136,1 | 53,7 | 149,2 | 60,0 | 166,7 |
| 90 | | 21,0 | 38,9 | 28,1 | 52,0 | 32,2 | 59,6 | 37,4 | 69,3 | 44,4 | 82,2 | 51,5 | 95,4 | 55,6 | 103,0 | 60,8 | 112,6 | 67,9 | 125,7 |
| 120 | 2 | 23,5 | 32,6 | 31,1 | 43,2 | 35,5 | 49,3 | 41,2 | 57,2 | 48,8 | 67,8 | 56,4 | 78,3 | 60,8 | 84,4 | 66,5 | 92,4 | 74,1 | 102,9 |
| 180 | 3 | 27,4 | 25,4 | 35,9 | 33,2 | 40,9 | 37,9 | 47,1 | 43,6 | 55,6 | 51,5 | 64,1 | 59,4 | 69,1 | 64,0 | 75,4 | 69,8 | 83,9 | 77,7 |
| 240 | 4 | 30,6 | 21,3 | 39,8 | 27,6 | 45,1 | 31,3 | 51,9 | 36,0 | 61,1 | 42,4 | 70,3 | 48,8 | 75,6 | 52,5 | 82,4 | 57,2 | 91,6 | 63,6 |
| 360 | 6 | 35,7 | 16,5 | 46,0 | 21,3 | 51,9 | 24,0 | 59,5 | 27,5 | 69,7 | 32,3 | 80,0 | 37,0 | 86,0 | 39,8 | 93,5 | 43,3 | 103,7 | 48,0 |
| 540 | 9 | 41,7 | 12,9 | 53,1 | 16,4 | 59,8 | 18,5 | 68,2 | 21,0 | 79,6 | 24,6 | 91,1 | 28,1 | 97,8 | 30,2 | 106,2 | 32,8 | 117,6 | 36,3 |
| 720 | 12 | 46,6 | 10,8 | 58,9 | 13,6 | 66,1 | 15,3 | 75,2 | 17,4 | 87,6 | 20,3 | 99,9 | 23,1 | 107,1 | 24,8 | 116,2 | 26,9 | 128,5 | 29,7 |
| 1080 | 18 | 54,4 | 8,4 | 68,1 | 10,5 | 76,2 | 11,8 | 86,3 | 13,3 | 100,1 | 15,4 | 113,9 | 17,6 | 121,9 | 18,8 | 132,1 | 20,4 | 145,8 | 22,5 |
| 1440 | 24 | 60,7 | 7,0 | 75,6 | 8,7 | 84,3 | 9,8 | 95,2 | 11,0 | 110,1 | 12,7 | 125,0 | 14,5 | 133,7 | 15,5 | 144,6 | 16,7 | 159,5 | 18,5 |
| 2880 | 48 | 79,8 | 4,6 | 98,9 | 5,7 | 110,0 | 6,4 | 124,1 | 7,2 | 143,2 | 8,3 | 162,2 | 9,4 | 173,4 | 10,0 | 187,4 | 10,8 | 206,5 | 12,0 |
| 4320 | 72 | 93,7 | 3,6 | 115,2 | 4,4 | 127,8 | 4,9 | 143,7 | 5,5 | 165,2 | 6,4 | 186,7 | 7,2 | 199,3 | 7,7 | 215,2 | 8,3 | 236,7 | 9,1 |

Angaben in mm: Bemessungsniederschlagswerte h(n)

Angaben in l / (s ha): Regenspende R(n) mit $R(n) = h(n) \times 1,666667 / D[\text{min}]$

Toleranzbereiche:

+/- 10 % für $1 a \leq T \leq 5 a$

+/- 15 % für $5 a < T \leq 50 a$

+/- 20 % für $50 a < T \leq 100 a$

Datenbasis: KOSTRA-DWD-2010R des Deutschen Wetterdienstes. Die Regenspende wurde auf Basis des Bemessungsniederschlags zur jeweiligen Andauer berechnet.

Für die Richtigkeit und Aktualität der Angaben wird keine Gewähr übernommen. Erstellt 07/2022.

Starkniederschlagshöhen und -spenden gemäß KOSTRA-DWD-2010R

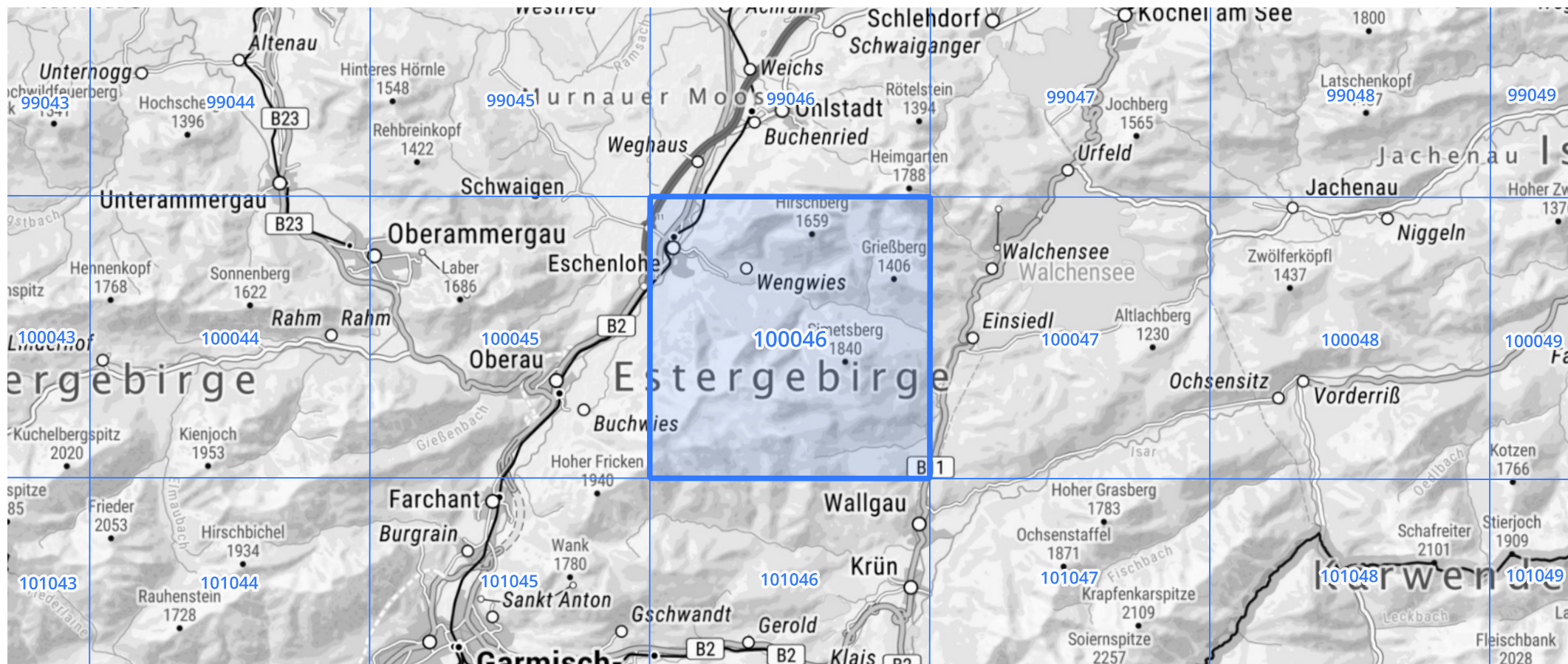
Auswertungszeitraum von 1951 - 2010, Januar - Dezember

Rasterfeld: 100046

Zeile: 100

Spalte: 46

Seite: 2/2



Quelle Rasterdaten: KOSTRA-DWD-2010R des Deutschen Wetterdienstes.

Kartendarstellung: © Bundesamt für Kartographie und Geodäsie (2022), Datenquellen: https://sgx.geodatenzentrum.de/web_public/gdz/datenquellen/Datenquellen_TopPlusOpen.html

Für die Richtigkeit und Aktualität der Angaben wird keine Gewähr übernommen. Erstellt 07/2022.